

### 31. LE MOLLE

Le molle sono elementi meccanici in grado di assorbire grandi quantità di energia elastica senza che le tensioni agenti raggiungano livelli critici. A questo scopo le molle sono conformate geometricamente in modo da permettere il verificarsi di grandi spostamenti mantenendo le deformazioni in campo elastico. Fra le applicazioni si possono citare:

- attenuazione degli urti,
- riduzione o esaltazione delle vibrazioni,
- comando del movimento di organi,
- immagazzinamento di energia,
- applicazione di forze proporzionali alla posizione.

Le molle vengono classificate, in base al tipo di sollecitazione che agisce nella sezione resistente, in molle di *flessione* e molle di *torsione*. Esistono sporadici esempi di molle di *trazione-compressione*.

Si vedrà nel seguito che le molle ad elica cilindrica (fig.1 e fig.4) vengono classificate anche in base alla direzione della forza agente rispetto all'asse longitudinale (cioè l'asse del cilindro attorno a cui si avvolge l'elica). In particolare si definiscono molle ad elica di *trazione-compressione* (la cui sezione è soggetta torsione) se la forza esterna agisce in direzione assiale e molle ad elica di *torsione* (la cui sezione è soggetta flessione) se la forza esterna genera un momento avente asse parallelo all'asse della molla.

#### Rigidezza

La relazione tra forza applicata ed inflessione della molla è del tipo

$$F = F(\delta, E, I / N / L) \quad T = T(\beta, G, I / N / L) \quad (31.1,2)$$

nelle quali

- $F-T$  forza esterna- momento torcente esterno
- $\delta-\beta$  spostamento - rotazione
- $E-G$  modulo elastico normale-tangenziale
- $I/N/L$  parametri geometrici

La rigidezza della molla è espressa come:

$$K = \frac{\partial F}{\partial \delta} \quad K = \frac{\partial T}{\partial \beta} \quad (31.3,4)$$

essa dipende dal modulo elastico del materiale e dalla geometria della molla. In molti casi può essere considerata costante e la molla risulta avere una relazione forza-spostamento di tipo lineare.

#### Capacità di immagazzinare energia

La capacità di immagazzinare energia di una molla è espressa mediante il coefficiente di utilizzazione  $C_u$  così definito:

$$C_u = U/U' \quad (31.5)$$

- $U'$  rappresenta l'energia corrispondente alla massima sollecitazione agente nell'elemento; se  $V$  è il volume della molla, per molle di flessione e torsione, rispettivamente, si ha:

$$U' = \frac{1}{2} V \sigma_{\max}^2 / E \quad U' = \frac{1}{2} V \tau_{\max}^2 / G \quad (31.6,7)$$

- $U$  è l'energia elastica effettivamente immagazzinata nella molla:

$$U = \frac{1}{2} \int_V \sigma \varepsilon dV = F \delta / 2 \quad U = \frac{1}{2} \int_V \tau \gamma dV = T \beta / 2 \quad (31.8,9)$$

Se le molle sono conformate come elementi monodimensionali di lunghezza  $L$ , in base alla teoria delle travi, trascurando l'eventuale effetto della curvatura, l'energia di deformazione assume la forma:

$$U = \frac{1}{2E} \int_L \frac{M_f^2}{I} dx \quad U = \frac{1}{2G} \int_L \frac{M_t^2}{I_p} dx \quad (31.10,11)$$

rispettivamente nei casi di molle di flessione e di torsione.

Nel caso in cui la tensione è uniformemente distribuita si ha  $C_u=1$  e il materiale risulta utilizzato nel modo più efficace; nella pratica questo caso si può verificare solo per elementi monoassiali tesi o compressi.

**Molle ad elica cilindrica di compressione-trazione (molle di torsione)**

Le molle ad elica cilindrica (fig.1) sono costituite da un filo di sezione  $S$ , circolare o rettangolare, il cui asse si avvolge su un cilindro di diametro  $D'$  con passo  $p$ , definito come distanza tra due spire, costante o variabile, formando un numero di spire  $N$ . Esse sono impiegate per resistere a sforzi diretti secondo l'asse del cilindro sul quale è avvolta l'elica (cioè sforzi di *trazione* o *compressione*); eccezionalmente sono impiegate per trasmettere coppie agenti in un piano normale all'asse del cilindro. Sotto l'azione delle forze dirette secondo l'asse del cilindro la sollecitazione principale alla quale è soggetto il filo è la *torsione*.

Per dato passo  $p$ , l'inclinazione  $\alpha$  della tangente all'elica, la lunghezza  $l$  di una spira e la lunghezza complessiva per  $N$  spire  $l_n$ , possono essere ottenute mediante le seguenti espressioni:

$$p = \pi D \tan \alpha \quad l = \frac{\pi D}{\cos \alpha} = \sqrt{p^2 + \pi^2 D^2} \quad l_n = N l = N \sqrt{p^2 + \pi^2 D^2} \quad (31.13,14)$$

se  $\alpha$  è sufficientemente piccolo si può scrivere:

$$l = \pi D \quad l_n = N \pi D \quad (31.15,16)$$

Le spire terminali della molla vengono conformate per vincolare la molla all'esterno e, se sono orizzontali, sono considerate non attive ai fini della rigidezza. Nel caso di molle soggette a trazione le spire terminali possono essere piegate a forma di gancio in modo da permettere la trasmissione della forza.

Quando la molla viene compressa totalmente raggiunge una lunghezza definita *lunghezza a pacchetto*  $L_p$ .

Nel caso di filo a sezione circolare i parametri geometrici della molla sono:

- $d$  diametro della sezione del filo  $d$ ,
- $D$  diametro medio dell'elica (il diametro esterno è  $D_e = D + d$ ),
- $N$  numero di spire attive (si noti che questo numero non è necessariamente intero!),
- $N'$  numero di spire terminali, avvolte con inclinazione nulla,
- $L_l$  lunghezza libera,
- $L_p$  lunghezza a pacchetto,  $L_p = d(N + N') + d'$  con  $d' = d$  o  $d' = 0$  a seconda che le spire terminali siano integre o spianate come in fig.1 (l'espressione di  $L_p$  è indicativa!).

Il momento di inerzia polare della sezione e il volume della molla sono rispettivamente:

$$I_p = \frac{\pi}{32} d^4 \quad V = l_n A = \frac{\pi^2}{4} N D d^2 \quad (31.17,18)$$

**Tensioni**

Sotto l'azione della forza  $F$  agente lungo l'asse del cilindro tutte le sezioni della molla, ugualmente orientate rispetto a  $F$  ed equidistanti dalla sua retta d'azione, sono sollecitate allo stesso modo per cui la molla ad elica cilindrica con passo costante è un solido di resistenza uniforme rispetto al carico  $F$ . La generica sezione è sollecitata dalle componenti normale  $F_N$  e tangenziale  $F_T$  della forza  $F$  e dai componenti flettente  $M_f$  e torcente  $M_t$  del momento  $M = FD/2$  della forza stessa. Osservando la fig.2 si ottiene:

$$F_N = F \sin \alpha \quad F_T = F \cos \alpha \quad (31.19,20)$$

$$M_f = F D \sin \alpha / 2 \quad M_t = F D \cos \alpha / 2 \quad (31.21,22)$$

Generalmente  $\alpha$  è sufficientemente piccolo da aversi  $F_N \approx 0$ ,  $M_f \approx 0$ ,  $F_T \approx F$ ,  $M_t \approx FD/2$  e la massima tensione tangenziale nel filo dovuta al momento torcente e al taglio può essere calcolata mediante la seguente equazione:

$$\tau = \left( q \frac{D d}{4 I_p} + \frac{1}{A} \right) F \quad (31.23)$$

essendo  $d/2$  la distanza tra il punto più sollecitato al bordo delle sezioni e il baricentro,  $A$  ed  $I_p$  rispettivamente l'area ed il momento d'inerzia polare della sezione,  $q$  il fattore di torsione per sezioni non circolari. Il primo termine è la tensione massima dovuta alla sollecitazione di torsione, il secondo è la tensione media dovuta al taglio. Nel caso di filo a sezione circolare di diametro  $d$ , sostituendo ad  $A$  ed  $I_p$  le relative espressioni si ottiene:

$$\tau = \left( \frac{8}{\pi} \frac{D}{d^3} + \frac{4}{\pi} \frac{1}{d^2} \right) F \quad (31.24)$$

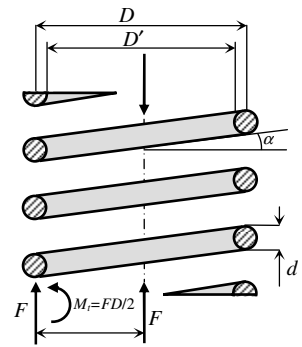


Fig.31.1- Molla ad elica cilindrica.

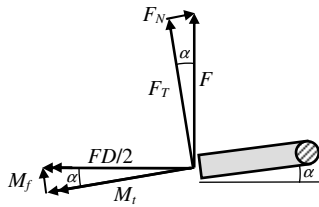


Fig.31.2-Forze agenti sulla sezione della molla.

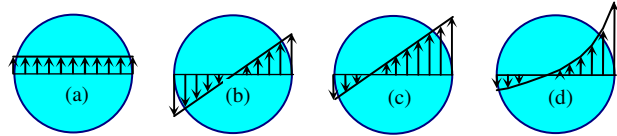


Fig.31.3- Tensioni nella spirale: a) taglio, b) torsione, c) taglio e torsione, d) effettive.

che fornisce la tensione di taglio nella fibra interna della molla (fig.3). La (24) può essere riscritta come segue:

$$\tau = \frac{8}{\pi} \left( 1 + \frac{0.5}{C} \right) \frac{D}{d^3} F \quad (31.25)$$

essendo  $C$  l'indice di molla,

$$C = D/d \quad (31.26)$$

che, per motivi tecnologici deve essere compreso nel campo  $6 < C < 12$ . Introducendo il fattore di correzione delle tensioni di taglio

$$k_s = 1 + 0.5/C \quad (31.27)$$

si può scrivere:

$$\tau = \frac{8}{\pi} \frac{D}{d^3} k_s F = \frac{8}{\pi} \frac{C}{d^2} k_s F \quad (31.28)$$

Si deve notare che le espressioni (23-25,28) sono approssimate in quanto:

- la tensione dovuta al taglio dovrebbe essere determinata per mezzo della formula di Jurasky e tenendo conto del fattore di taglio,
- le formule utilizzate sono valide per solidi ad asse rettilineo mentre la curvatura provoca un aumento della tensione sul bordo interno e un andamento parabolico della tensione (fig.3).

Questi effetti vengono inclusi nel coefficiente  $k_b$ , detto coefficiente di Bergstrasser, con il quale la (28) può essere riscritta come segue:

$$\tau = \frac{8}{\pi} \frac{D}{d^3} k_b F = \frac{8}{\pi} \frac{C}{d^2} k_b F \quad (31.29)$$

$k_b$  è dato da:

$$k_b = \frac{4C - 2}{4C + 3} \approx \frac{4C - 1}{4C + 4} + \frac{0.615}{C} \quad (31.30)$$

$k_b$  tiene conto sia della concentrazione di tensione che dell'effetto del taglio. Il solo fattore di concentrazione delle tensioni è dato da:

$$k_c = k_b/k_s \approx \frac{2C(4C + 2)}{(4C - 3)(2C + 1)} \quad (31.31)$$

Per carichi statici la concentrazione di tensione dovuta alla curvatura può essere trascurata e a  $k_b$  può essere attribuito il valore  $k_s$ , mentre per carichi di fatica tipicamente si usa  $k_c$ .

**Inflessione**

L'espressione dell'abbassamento  $\delta$  può essere ottenuta mediante il teorema di Clapeyron. Per calcolare le inflessioni il fattore  $k_b$  e l'effetto del taglio possono essere trascurati. L'energia di deformazione nel caso di torsione (11) è data da:

$$U = \frac{1}{2G} \int_L \frac{32}{\pi d^4} \frac{D^2 F^2}{4} dx = \frac{4}{\pi} \frac{D^2}{d^4} \frac{F^2}{G} \int_L dx = \frac{4}{\pi} \frac{D^2}{d^4} \frac{F^2}{G} \pi N D \quad (31.32)$$

da cui:

$$U = 4N \frac{D^3}{d^4} \frac{F^2}{G} \quad (31.33)$$

Ponendo l'energia di deformazione pari al lavoro compiuto dalla forza  $L_e = F\delta/2$  si ottiene la relazione tra lo spostamento e la forza o la tensione:

$$\delta = 8N \frac{D^3}{d^4} \frac{F}{G} = \pi N \frac{D^2}{d} \frac{\tau}{k_s G} \quad (31.34)$$

In alternativa, applicando il teorema di Castigliano, lo spostamento  $\delta$  si otterrebbe come  $\delta = \partial U / \partial F$ .

### Costante elastica

La rigidezza della molla  $K = \partial F / \partial \delta$  è costante ed è data da:

$$K = \frac{1}{8} \frac{1}{N} \frac{d^4}{D^3} G = \frac{1}{8} \frac{d}{C^3} G \quad (31.35)$$

Le equazioni ottenute sono valide sia per molle in compressione che per molle in trazione.

### Coefficiente di utilizzazione

In base alla (7) e alla (18) si ha:

$$U' = \frac{1}{2G} \left( \frac{8}{\pi} \frac{D}{d^3} k_b F \right)^2 \frac{\pi^2}{4} N D d^2 = 8 \frac{N D^3}{d^4} \frac{k_b^2 F^2}{G} \quad (31.36)$$

da cui, ricordando la (5) e la (33), si ottiene  $C_u = 0.5/k_b^2$ ; per  $k_b = 1.2$  si ha  $C_u = 0.35$ .

### Tensioni ammissibili

Considerando le caratteristiche dei materiali per molle e tenuto conto della possibilità di limitare la freccia massima, la tensione ammissibile può essere espressa come  $\tau_{am} = a \sigma_r$ , con  $a$  pari 0.45 o 0.35 rispettivamente per materiali ferrosi e non. Un opportuno superamento del limite di snervamento, detto *presetting*, provoca delle tensioni residue vantaggiose, che consentono di utilizzare valori di  $a$  più elevati:  $a = 0.65$  o  $a = 0.55$ , rispettivamente.

### Dimensionamento

Nel dimensionamento le variabili incognite sono  $D$ ,  $d$  ed  $N$ . Solitamente la rigidezza è un dato di progetto, ad esempio, esprimibile mediante le frecce di lavoro  $\delta_1$  e  $\delta_2$ , o le lunghezze assunte dalla molla  $L_1 = L_r - \delta_1$  ed  $L_2 = L_r - \delta_2$ , e le relative forze  $F_1$  ed  $F_2$  come  $K = \Delta F / \Delta \delta = (F_2 - F_1) / (\delta_2 - \delta_1)$  o  $K = \Delta F / \Delta \delta = (F_2 - F_1) / (L_1 - L_2)$ . Se la rigidezza è un dato di progetto, è utile riscrivere l'espressione della tensione (28) in funzione della costante elastica come

$$\tau = \frac{1}{\pi} \frac{d}{N D^2} \frac{G}{K} k_{b/s} F = \frac{1}{\pi} \frac{1}{N C D} \frac{G}{K} k_{b/s} F \quad (31.37)$$

Introducendo la tensione ammissibile, la (37) può essere esplicitata rispetto ai parametri geometrici

$$\frac{N D^2}{d} = N C D = \frac{1}{\pi} \frac{G}{K} k_{b/s} \frac{F}{\tau_{am}} \quad (31.38)$$

ed utilizzata in modo opportuno per il dimensionamento. In particolare, i parametri  $D$  ed  $N$  possono essere imposti in base a vincoli sull'ingombro. Poiché i coefficienti  $k_{b/s}$  dipendono da  $C$  (eq.30/27), i calcoli devono essere effettuati in modo iterativo, introducendo un valore iniziale di tentativo, generalmente unitario, e utilizzando il valore di  $C$  determinato per calcolare un valore più preciso di  $k_{b/s}$ .

Si noti che in vari casi, pur essendo dati di progetto le lunghezze  $L_1$  ed  $L_2$  assunte dalla molla, non si conosce la lunghezza libera  $L_l$  che è determinata anche dall'inclinazione dell'elica.

È bene che, alla lunghezza a pacchetto  $L_p$ , la freccia sia pari al 110% della freccia  $\delta_2$ , in modo che l'eventuale sovraccarico massimo sia limitato al 10%. In pratica il carico massimo possibile per la molla risulta  $F_{max} = 1.1 F_2$  e la freccia massima deve essere  $\delta_{max} = 1.1 \delta_2$ . Questo implica l'ulteriore relazione:

$$L_l = L_p + 1.1 \delta_2 = d (N + N') + d' + 1.1 \delta_2 \quad (31.39)$$

che permette di determinare la lunghezza libera e l'inclinazione dell'elica.

### Frequenza critica delle molle ad elica

Frequentemente le molle ad elica sono utilizzate imponendo un moto di elongazione e schiacciamento molto rapido come, ad esempio, nelle valvole di comando di un motore a combustione interna. In questi casi è necessario verificare che la frequenza naturale di vibrazione della molla non sia prossima a quella della forza applicata poiché la molla potrebbe andare in risonanza. La frequenza critica di una molla ad elica per l'armonica di ordine  $a$  è data da

$$f = \frac{a}{2} \sqrt{\frac{K}{m}} = \frac{a}{2} \sqrt{\frac{K}{V \rho}} = \frac{a}{2} \sqrt{\frac{4}{\pi^2} \frac{1}{N D d^2} \frac{K}{\rho}} = \frac{a}{\pi d} \sqrt{\frac{1}{N D} \frac{K}{\rho}} \quad (31.40)$$

essendo  $m$  la massa della molla e  $\rho$  la densità del materiale. La frequenza critica fondamentale deve essere compresa fra 15 e 20 volte la frequenza della forza in modo da evitare risonanza.

**Molle ad elica di torsione (molle di flessione)**

Queste molle sono costruite in modo analogo a quelle ad elica di trazione o compressione, ma le estremità sono sagomate in modo da poter trasmettere un momento di asse parallelo all'asse della molla (cioè *torcente*) (fig.4). Le sezioni della molla risultano soggette ad una sollecitazione di *flessione*. Nella costruzione di queste molle si generano tensioni residue agenti in verso opposto a quelle di esercizio, di conseguenza esse possono essere progettate per operare a livelli di tensione che uguagliano o anche superano la resistenza allo snervamento del filo. Queste molle sono messe in esercizio avvolte attorno ad una guida cilindrica che reagisce con la forza  $F'$  mostrata in fig.4.

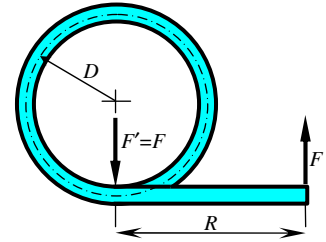


Fig.31.4 - Molla di flessione ad elica.

Per sezione circolare i parametri geometrici della molla sono:

- il diametro della sezione del filo  $d$ ,
- il diametro medio dell'elica  $D$ ,
- il numero di spire  $N$ ,
- il braccio della forza  $R$ .

La lunghezza e il volume della molla sono dati dalle (17) e (18) rispettivamente, mentre il momento d'inerzia diametrale della sezione è

$$I = \pi d^4 / 64 \quad (31.41)$$

**Tensioni**

Poiché il cilindro a cui è avvolta la molla esplica una reazione  $F'=F$ , si può ritenere che sulle sezioni agisca un momento flettente costante dato dal prodotto di  $F$  per  $R$  e l'espressione della tensione massima può essere scritta nella seguente forma:

$$\sigma = \frac{32}{\pi} \frac{1}{d^3} k_w R F \quad (31.42)$$

essendo  $k_w$  un fattore di concentrazione delle tensioni il cui valore dipende dalla curvatura del filo e dal fatto che la tensione sia determinata sulla fibra interna od esterna. Wahl ha determinato il seguente valore per la fibra interna che risulta essere la più sollecitata:

$$k_{wi} = \frac{4C^2 - C - 1}{4C(C - 1)} \quad (31.43)$$

essendo  $C=D/d$  l'indice di molla.

**Inflessione**

L'angolo di rotazione dell'estremità della molla  $\beta$  può essere ottenuto utilizzando il teorema di Clapeyron. L'energia di deformazione in flessione (10) risulta

$$U = \frac{1}{2E} \int_L \frac{R^2 F^2}{I} dx = \frac{1}{2I} \frac{R^2 F^2}{E} \int_L dx \quad (31.44)$$

da cui si ottiene:

$$U = 32 \frac{N D R^2 F^2}{d^4 E} \quad (31.45)$$

Ponendo l'energia di deformazione pari al lavoro compiuto dalla forza  $L_e = F R \beta / 2$  si ottiene:

$$\beta = 64 \frac{N D R F}{d^4 E} = 2\pi \frac{N D \sigma}{d k_w E} \quad (31.46)$$

In alternativa, applicando il teorema di Castigliano, si la relazione (46) potrebbe essere ottenuta dall'espressione  $R\beta = \partial U / \partial F$ .

**Costante elastica**

La rigidità della molla  $K = \partial M / \partial \beta = \partial (FR) / \partial \beta$  è costante ed è data da:

$$K = \frac{1}{64} \frac{d^4}{N D} E = \frac{1}{64} \frac{d^3}{N C} E \quad (31.47)$$

In alcuni casi si preferisce riferire la costante elastica ad un giro completo. In questo caso si moltiplica la (47) per  $2\pi$  e si ottiene:

$$K' = \frac{1}{10.2} \frac{d^4}{ND} E \left[ \frac{\text{daNmm}}{\text{giro}} \right] \quad (31.48)$$

Queste equazioni sono state ottenute senza tenere conto della curvatura del filo. Le prove sperimentali mostrano che la costante 10.2 deve essere leggermente aumentata. L'equazione:

$$K' = \frac{1}{10.8} \frac{d^4}{ND} E \quad (31.49)$$

fornisce migliori risultati.

### Coefficiente di utilizzazione

In base alla (7) e alla (18) si ha

$$U' = \frac{\sigma_{\max}^2}{2E} V = \frac{1}{2E} \left( \frac{32}{\pi} \frac{1}{d^3} K_w R F \right)^2 \frac{\pi^2}{4} N D d^2 = 128 K_w^2 \frac{N D R^2 F^2}{d^4 E} \quad (31.50)$$

da cui, ricordando la (5) e la (45), si ottiene  $C_u = 0.25/K_w^2$

### Dimensionamento

Le problematiche del dimensionamento sono simili a quelle delle molle di torsione ad elica, ad eccezione del fatto che la resistenza dipende solo dal diametro  $d$  come mostra l'eq.(42). In questo caso  $d$  può essere dimensionato indipendentemente dagli altri parametri introducendo la tensione ammissibile  $\sigma_{am}$  nella (42). Per il dimensionamento degli altri parametri, la tensione (42) può essere espressa in funzione della costante elastica come:

$$\sigma = \frac{1}{2\pi} \frac{d}{ND} \frac{E}{K} k_w R F \quad (31.51)$$

ed esplicitata rispetto al prodotto  $ND$  o al prodotto  $NC$  introducendo la tensione ammissibile  $\sigma_{am}$ :

$$ND = \frac{1}{2\pi} \frac{E}{K} \frac{F}{\sigma_{am}} k_w R d \quad NC = \frac{1}{2\pi} \frac{E}{K} \frac{F}{\sigma_{am}} k_w R \quad (31.52a,b)$$

### Molle a barra di torsione (molle di torsione)

Le molle a barra di torsione sono schematizzabili come semplici barre ad asse rettilineo di lunghezza  $L$ , a sezione costante, incastrate ad un'estremità, sollecitate all'estremità libera da una coppia torcente  $T$ ; la sezione libera ruota rispetto alla sezione incastrata di un angolo  $\beta$  e l'asse della barra rimane rettilineo. Se la barra è di sezione circolare i parametri geometrici della molla sono:

- il diametro della sezione  $d$ ,
- la lunghezza  $L$ .

Il momento di inerzia polare è dato dalla (17).

### Tensioni

La tensione tangenziale al bordo esterno è:

$$\tau = \frac{16}{\pi} \frac{T}{d^3} \quad (31.53)$$

### Inflessione

Le inflessioni possono essere calcolate mediante il teorema di Clapeyron. L'energia di deformazione (10) per la trave soggetta a momento torcente costante è:

$$U = \frac{16}{\pi} \frac{L}{d^4} \frac{T^2}{G} \quad (31.54)$$

Ponendo l'energia di deformazione pari al lavoro fatto dalla forza agente  $L_e = T\beta/2$  si ottiene:

$$\beta = \frac{32}{\pi} \frac{L}{d^4} \frac{T}{G} = 2 \frac{L}{d} \frac{\tau}{G} \quad (31.55)$$

### Costante elastica

La rigidezza della molla  $K = \partial T / \partial \beta$  è costante ed è data da:

$$K = \frac{\pi}{32} \frac{d^4}{L} G \quad (31.56)$$

### Coefficiente di utilizzazione

In base alla (7) e tenuto conto che  $V = L\pi d^2/4$ , si ha

$$U' = \frac{\tau_{\max}^2}{2G} V = \frac{1}{2G} \left( \frac{T}{d^3} \frac{16}{\pi} \right)^2 d^2 L \frac{\pi}{4} = \frac{32}{\pi} \frac{L}{d^4} \frac{T^2}{G} \quad (31.57)$$

da cui, ricordando la (5) e (54), si ottiene  $C_u=0.5$

### Dimensionamento

Anche in questo caso il diametro  $d$  si ricava direttamente dalla (53). Se il valore della costante elastica  $K$  è un dato di progetto, esprimendo la tensione (53) in funzione di  $K$  (56) si può determinare il valore di  $L$  come

$$L = \frac{1}{2} \frac{G}{K} \frac{T}{\tau_{am}} d \quad (31.58)$$

### Barra di torsione con manovella

Se il momento agente sulla barra di torsione è provocato da una forza  $F$  di direzione costante agente su una manovella di lunghezza  $R$ , come in fig.5, per grandi variazioni dell'angolo di torsione, tale momento risulta variabile in modo non lineare con lo spostamento  $\delta$  della forza. In conseguenza di ciò, la relazione tra la forza applicata  $F$  e lo spostamento  $\delta$  non è lineare.

In generale la manovella scarica ( $F=0$ ) forma un angolo  $\beta_0$  con l'orizzontale (fig.5); se la barra è di sezione circolare, sempre con riferimento alla fig.5, i parametri geometrici della molla sono:

- il diametro della sezione  $d$ ,
- la lunghezza della barra  $L$ ,
- la lunghezza della manovella  $R$ ,
- l'angolo tra la manovella e la direzione orizzontale in assenza di forza  $\beta_0$ .

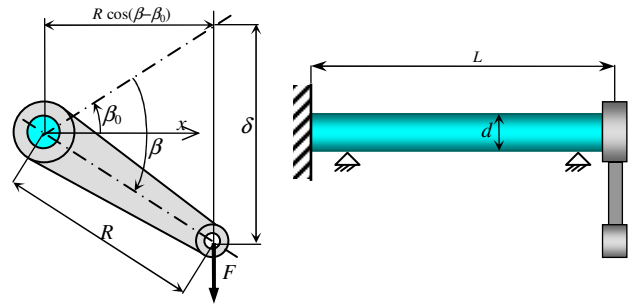


Fig.31.5 - Barra di torsione con manovella.

### Tensioni

Dalla (55) e dalla fig.5 si osserva che, per la generica rotazione  $\beta$ , sulla barra agisce un momento torcente dato da:

$$T = K \beta = \frac{\pi d^4}{32 L} G \beta = \cos(\beta - \beta_0) R F \quad (31.59)$$

Introducendo tale espressione nella (53), si ottiene la tensione di torsione agente al bordo della barra in funzione dell'angolo di rotazione o della forza applicata:

$$\tau = \frac{1}{2} \frac{d}{L} G \beta = \frac{16}{\pi} \frac{\cos(\beta - \beta_0)}{d^3} R F \quad (31.60)$$

### Rigidezza (forza $F$ -spostamento $\delta$ )

La rigidezza intesa come derivata della funzione che esprime la forza applicata rispetto allo spostamento  $\delta$  del suo punto di applicazione risulta essere funzione di  $\beta$  ed è data da:

$$K_\delta(\beta) = \frac{\partial F}{\partial \delta} = \frac{\partial F}{\partial \beta} \frac{\partial \beta}{\partial \delta} \quad (31.61)$$

Per ottenerne l'espressione in funzione dei vari parametri è necessario esprimere la forza e lo spostamento in funzione di  $\beta$ . L'espressione della forza esercitata in funzione dell'angolo di rotazione, in base alla (59), è:

$$F = \frac{K}{R} \frac{\beta}{\cos(\beta - \beta_0)} = \frac{\pi}{32} \frac{d^4}{L R} G \frac{\beta}{\cos(\beta - \beta_0)} \quad (31.62)$$

La freccia intesa come spostamento del punto di applicazione del carico è data da:

$$\delta = R \left[ \sin \beta_0 + \sin(\beta - \beta_0) \right] \quad (31.63)$$

Derivando l'espressione del carico e quella della freccia rispetto a  $\beta$  si ottiene rispettivamente:

$$\frac{\partial F}{\partial \beta} = \frac{K}{R} \frac{1 + \beta \tan(\beta - \beta_0)}{\cos^2(\beta - \beta_0)} \quad \frac{\partial \delta}{\partial \beta} = R \cos(\beta - \beta_0) \quad (31.64,65)$$

dalle quali, utilizzando la (61), si ottiene:

$$K_{\delta}(\beta) = \frac{K}{R^2} \frac{1 + \beta \tan(\beta - \beta_0)}{\cos^2(\beta - \beta_0)} = \frac{\pi}{32} \frac{d^4}{LR^2} G \frac{1 + \beta \tan(\beta - \beta_0)}{\cos^2(\beta - \beta_0)} \quad (31.66)$$

La (66) mostra che la rigidità è variabile con la deformazione angolare e che essa è minima per un valore dell'angolo  $\beta < \beta_0$ . Quando l'asse della manovella è orizzontale ( $\beta = \beta_0$ ) il braccio è massimo e la rigidità diventa:

$$K_{\delta}(\beta_0) = \frac{K}{R^2} = \frac{\pi}{32} \frac{d^4}{LR^2} G \quad (31.67)$$

Per molle montate su veicoli è opportuno fare in modo che tale posizione coincida con quella sotto carico statico ( $\beta_s = \beta_0$ ) in modo che la molla abbia rigidità crescente con lo spostamento. L'angolo di rotazione può essere posto in funzione della forza  $F$  mediante la seguente relazione non lineare:

$$\frac{\beta}{\cos(\beta - \beta_0)} = \frac{R}{K} F = \frac{32}{\pi} \frac{LR}{d^4} \frac{F}{G} \quad (31.68)$$

### Dimensionamento

In generale le grandezze da dimensionare sono  $\beta_0$ ,  $d$ ,  $L$  ed  $R$ . Se i dati di progetto sono il carico statico  $F_s$ , cui deve corrispondere la posizione orizzontale ( $\beta = \beta_s = \beta_0$ ), e la variazione di freccia  $\Delta\delta$  (fig.6) tra la posizione statica  $\delta_s$  e la freccia massima  $\delta_M$  ( $\Delta\delta = \delta_M - \delta_s$ ), in base alla (68) si può scrivere una prima relazione:

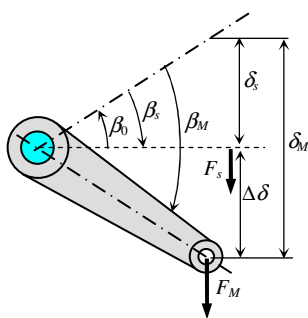


Fig.31.6 - Dati di progetto.

$$\beta_s = \beta_0 = \frac{R}{K} F_s = \frac{32}{\pi} \frac{LR}{d^4} \frac{F_s}{G} \quad (31.69)$$

Dalla fig.6 si osserva che  $\beta_M = \text{sen}^{-1} \Delta\delta/R + \beta_s$  per cui dalla (60), imponendo che  $\tau$  sia pari alla tensione ammissibile del materiale  $\tau_{am}$ , si ottiene una seconda relazione:

$$\tau = \frac{1}{2} \frac{d}{L} G \left( \text{sen}^{-1} \frac{\Delta\delta}{R} + \beta_s \right) = \tau_{am} \quad (31.70)$$

sostituendo  $\beta_s$  con la (69) nella (70), si ottiene la seguente relazione

$$\frac{1}{2} \frac{d}{L} G \text{sen}^{-1} \Delta\delta/R + \frac{16}{\pi} \frac{1}{d^3} R F_s = \tau_{am} \quad (31.71)$$

nella quale le incognite sono  $d$ ,  $L$ ,  $R$ ; occorre pertanto fissarne due per ricavare la terza. Ad esempio, per ricavare  $d$  si può scrivere la seguente relazione risolvibile in modo *iterativo*:

$$d = \sqrt[3]{\frac{16}{\pi} \frac{R F_s}{\tau_{am} - \frac{1}{2} \frac{d}{L} G \text{sen}^{-1} \frac{\Delta\delta}{R}}} \quad (31.72)$$

Si noti che la radice nella (72) è *cubica*. Se la (72) non converge è necessario riconsiderare gli altri parametri, in particolare  $L$  ed  $R$ .

### Molle a balestra (molle di flessione)

Le molle a balestra sono usualmente costruite come travi incastrate o appoggiate a sezione rettangolare avente base  $b$  e altezza  $h$  in generale variabili, sulle quali agisce una forza  $F$  (all'estremità per quelle incastrate, in mezzzeria per quelle appoggiate) che provoca flessione.

#### Tensione

In una trave incastrata con carico di estremità la tensione massima (al bordo superiore) nella generica sezione di ascissa  $x$  e la tensione massima nella sezione di incastro sono date rispettivamente da:

$$\sigma_x = 6 \frac{L-x}{b h^2} F \quad \sigma = 6 \frac{L}{b_0 h_0^2} F \quad (31.73,74)$$

In questa ultima  $b_0$  ed  $h_0$  sono i valori all'incastro ( $x=0$ ).

Il coefficiente di utilizzazione di una molla a sezione costante risulta molto basso. Nel caso in cui  $b$  e  $h$  sono costanti, essendo il volume dato da  $V=bhl$ , le espressioni di  $U'$  (6) e  $U$  (8) sono rispettivamente



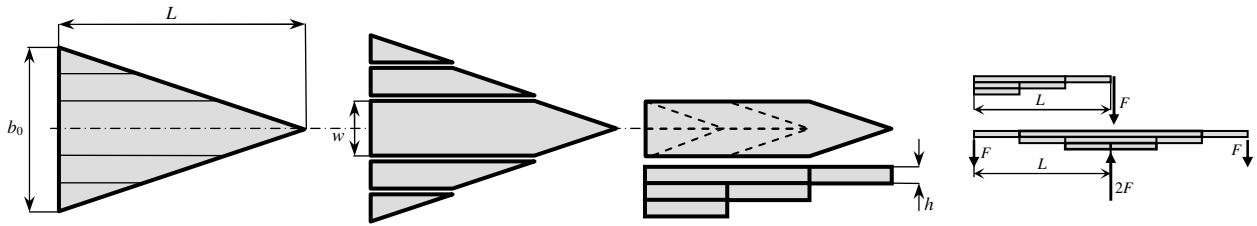


Fig.31.7 - La molla a balestra. A destra confronto tra molla a balestra incastrata e appoggiata.

$$U = \frac{1}{2EI} \int_L M^2 dx = 2 \frac{L^3}{bh^3} \frac{F^2}{E} \quad U' = bhL \frac{\sigma^2}{2E} = 18 \frac{L^3}{bh^3} \frac{F^2}{E} \quad (31.75,76)$$

ed effettuando il rapporto si ottiene  $C_u=0.111$ . Per ottenere una migliore utilizzazione del materiale impiegato, contenendo oltremodo il peso, è opportuno che la tensione  $\sigma_x$  sia costante rispetto ad  $x$ . Le travi di uniforme resistenza possono essere ottenute variando sia  $b$  che  $h$  imponendo che sia  $\sigma_x=\sigma_{max}$ :

$$6 \frac{L}{b_0 h_0^2} F = 6 \frac{L-x}{bh^2} F \quad (31.77,78)$$

Se si mantiene costante lo spessore  $h=h_0$ , la larghezza  $b$  deve variare linearmente con  $x$ , mentre, se si mantiene costante la larghezza  $b=b_0$ , lo spessore  $h$  deve variare in modo parabolico; nei due casi si ha

$$b = b_0 \frac{L-x}{L} \quad h = h_0 \sqrt{\frac{L-x}{L}} \quad (31.79,80)$$

Nel primo caso la trave assume la forma di una barra triangolare che è il modello base per le molle a balestra. La molla a balestra (fig.7) si ottiene, infatti, tagliando la barra triangolare in una serie di strisce, simmetricamente disposte nella barra originale (quella centrale di larghezza  $w$  e le altre  $w/2$ ), accostandole a due a due in modo da creare una foglia di larghezza  $w$ , e disponendo le foglie l'una sotto l'altra a partire dalla più lunga. Se  $N$  è il numero delle foglie, si ha  $b_0=Nw$ .

La barra triangolare e la corrispondente balestra a foglie multiple hanno tensioni ed inflessioni quasi identiche, poiché le foglie agiscono come elementi elastici in parallelo (vedi paragrafo seguente). Le differenze sono dovute a 2 fattori:

- l'attrito fra le foglie produce smorzamento nella molla a foglie multiple,
- la molla a foglie multiple può sopportare carichi in una sola direzione dato che carichi di verso opposto tendono a separare le foglie.

Riassumendo, i parametri geometrici della molla sono:

- lo spessore  $h$ ,
- il numero delle foglie  $N$ ,
- la larghezza della foglia  $w$  o la larghezza totale  $b_0$ ,
- la lunghezza  $L$ .

Il momento di inerzia, variabile rispetto all'asse  $x$ , ed il volume della molla sono rispettivamente:

$$I = \frac{b_0 h^3}{12} \frac{L-x}{L} \quad V = L b_0 h/2 \quad (31.81,82)$$

In base ai parametri geometrici introdotti, l'eq.(74) può essere riscritta come segue:

$$\sigma = 6 \frac{L}{b_0 h^2} F = 6 \frac{L}{N w h^2} F \quad (31.83)$$

### Inflessione

Le inflessioni possono essere calcolate mediante il teorema di Clapeyron. L'energia di deformazione per trave inflessa a sezione variabile (10), essendo  $M=F(L-x)$ , è data da:

$$U = \frac{1}{2E} \int_0^L \frac{12L}{b_0 h^3 (L-x)} (L-x)^2 F^2 dx = 6 \frac{L}{b_0 h^3} \frac{F^2}{E} \int_0^L (L-x) dx \quad (31.84)$$

da cui:

$$U = 3 \frac{L^3}{b_0 h^3} \frac{F^2}{E} \quad (31.85)$$

Ponendo l'energia di deformazione pari al lavoro fatto dalla forza agente  $L_e = F \delta / 2$  si ottiene:

$$\delta = 6 \frac{L^3}{b_0 h^3} \frac{F}{E} = \frac{L^2}{h} \frac{\sigma}{E} \quad (31.86)$$

La stessa espressione può essere ottenuta applicando il teorema di Castigliano, derivando l'energia di deformazione rispetto alla forza, cioè  $\delta = \partial U / \partial F$ .

### Costante elastica

La rigidità della molla  $K = \partial F / \partial \delta$  è costante ed è data da:

$$K = \frac{1}{6} \frac{b_0 h^3}{L^3} E = \frac{1}{6} \frac{N w h^3}{L^3} E \quad (31.87)$$

### Coefficiente di utilizzazione

In base alla (6) e alla (82) si ha

$$U' = \frac{\sigma_{\max}^2}{2 E} V = 9 \frac{L^3}{b_0 h^3} \frac{F^2}{E} \quad (31.88)$$

da cui, ricordando la (5) e la (84), si ottiene  $C_u = 0.33$ .

### Dimensionamento

Solitamente i dati di progetto sono il carico statico  $F_s$ , la freccia elastica sotto carico statico  $\delta_s$ , la freccia massima  $\delta$  e/o il carico massimo  $F$ . Le variabili da dimensionare  $h$ ,  $L$ ,  $b_0$  ed  $N$  sono legate fra loro dalle equazioni della tensione (83), dello spostamento (86) e della costante elastica (87). Si noti che le relazioni (83) e (86) non sono indipendenti, quindi due delle variabili geometriche devono essere fissate con regole empiriche, dedotte dalla pratica costruttiva. In generale con il calcolo si determinano lo spessore  $h$  ed il numero delle foglie  $N$ . Se la costante elastica  $K$  è assegnata o determinabile dalle frecce e dai carichi, esprimendo la tensione (83) in funzione di  $K$

$$\sigma = \frac{h}{L^2} \frac{E}{K} F \quad (31.89)$$

è possibile ricavare la seguente relazione utile per il dimensionamento:

$$\frac{h}{L^2} = \frac{K}{E} \frac{\sigma_{am}}{F} \quad (31.90)$$

Le formule della tensione, dello spostamento e della rigidità sono valide anche per il caso di balestra appoggiata (fig.7) considerando che i simboli  $L$  ed  $F$  si riferiscono rispettivamente a metà della lunghezza complessiva e a metà della forza agente in mezzeria e l'abbassamento si riferisce alla sezione di mezzeria.



Fig.31.8 – Che tipi di molle riconoscete in questa raffinata sella Brooks?

**Molle in serie e parallelo**

In vari casi più molle vengono utilizzate simultaneamente. Le configurazioni più tipiche sono quelle di molle in serie e parallelo. In questi casi è utile conoscere la relazione tra le costanti delle singole molle utilizzate e la costante di molla dell'insieme.

**Serie**

Nel caso di molle in serie (fig.9), tutti gli elementi sono soggetti alla stessa forza mentre lo spostamento del punto di applicazione è dato dalla somma degli allungamenti dei singoli elementi:

$$F = F_1 = F_2 \quad \delta = \delta_1 + \delta_2 \quad (31.91,92)$$

Nel caso di due elementi, in base alla definizione di  $K$  si ottiene:

$$K = \frac{F}{\delta} = \frac{F}{\delta_1 + \delta_2} = \frac{F}{F/K_1 + F/K_2} = \frac{1}{1/K_1 + 1/K_2} = \frac{K_1 K_2}{K_1 + K_2} \quad (31.93)$$

In generale, per  $n$  molle, si ha:

$$K = \frac{1}{\sum_{i=1}^n \frac{1}{K_i}} \quad (31.94)$$

**Parallelo**

Nel caso di molle in parallelo (fig.10), tutti gli elementi sono soggetti allo stesso allungamento che coincide con lo spostamento del punto di applicazione della forza, mentre la forza complessiva è data dalla somma delle forze agenti nei singoli elementi:

$$\delta = \delta_1 = \delta_2 \quad F = F_1 + F_2 \quad (31.95,96)$$

Nel caso di due elementi, in base alla definizione di  $K$  si ottiene:

$$K = \frac{F}{\delta} = \frac{F_1 + F_2}{\delta} = \frac{F_1}{\delta} + \frac{F_2}{\delta} = K_1 + K_2 \quad (31.97)$$

In generale, per  $n$  molle, si ha:

$$K = \sum_{i=1}^n K_i \quad (31.98)$$

Si deve notare che le *foglie della molla a balestra agiscono in parallelo* in quanto sono soggette tutte alla stessa freccia  $\delta$ . Il comportamento a flessione dell'insieme delle foglie è differente rispetto a quello di un *unico elemento* con sezione uguale all'insieme delle sezioni delle foglie (e quindi di altezza pari al prodotto  $Nh$ ) in quanto le foglie sono fisicamente separate e non si trasmettono azioni tangenziali (a parte quelle dell'attrito). Per questo motivo nella (83) compare l'altezza  $h$  della singola foglia elevata al quadrato moltiplicata per il numero delle foglie, cioè il prodotto  $Nh^2$ , e non l'altezza complessiva delle foglie elevata al quadrato, cioè il prodotto  $N^2h^2$ .

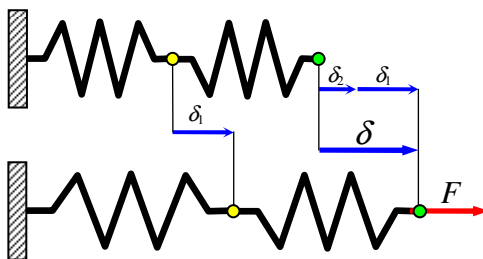


Fig.31.9 - Molle in serie.

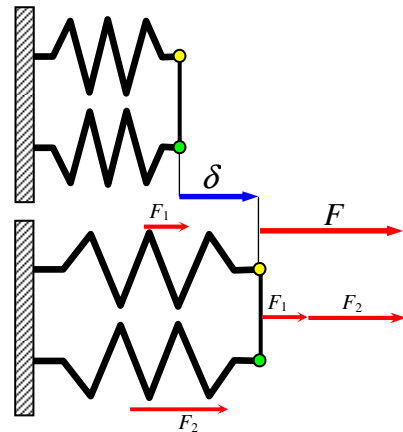


Fig.31.10 - Molle in parallelo.